

海中構造物に対する船舶衝突防止施設に関する研究（其の1）

大阪市立大学工学部 正員 永井莊七郎
 正員 小田 一紀
 大阪市役所 正員 小川 俊介
 大阪市立大学大学院 学生員 川本 清

1. 緒言

本州四国連絡橋の建設予定地点は、いずれも潮流が速く、しかも航行船舶が輻輳する狭水道である。例えば交通量が最も多い明石海峡では、昭和46年7月の調査によると、1日平均船舶通航隻数は20,24隻、備瀬瀬戸東部で1,462隻、また来島海峡で1,135隻にも及んでいる。このような狭水道に超大方橋脚が建設されると、通行船舶への影響は大きく、荒天時や濃霧の際、或いは夜間に船舶が橋脚に衝突する危険性が十分に考えられる。

また海底地盤調査の際のボーリング・タワー・や架橋工事中の建設構造物への衝突の例も既にあり、十分な安全対策を講ずる必要がある。

本研究においては、このような橋脚等、海中の構造物に接近した船舶を安全に構造物から離し、船舶と構造物の衝突による相互の被害を未然に防止する衝突防止施設を開発することを目的とし、その構造および効果について、水槽における模型実験および理論によって検討した。

本稿は以下に示すようにこの研究の初めの予備的な部分を取りまとめたものである。

2. 衝突防止施設の構造ならびに対象船舶

水深が深い海域における船の衝突に対して、船に大きな衝撃力を与えないので、緩やかにその運動を誘導するような機能をもつ施設として図-1に示すような浮き形式の衝突防止施設が最も適している。

これは適当な浮力をもち、船腹への単位面積当たりの反力を軽減させるような特性を有するフロートをロープで連結し、その両端を係留された大型ブイで引張る、極めて簡単な構造である。

対象船舶は架橋予定海域における船舶交通の動態調査等の資料に基づき、大きさと

して1,000～2,000t/hとした。また衝突防止施設への船舶の進入速度は通常の航海速力を考慮して、8～10knとした。

3. 研究方針

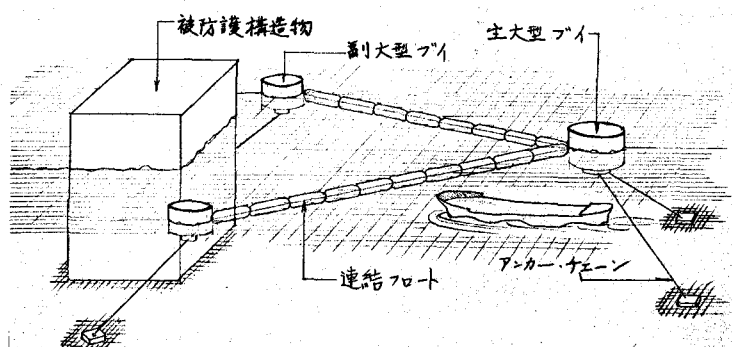


図-1 衝突防止施設の構造

問題を単純化し、衝突防止施設に衝突したときの船舶の運動や連結フロートのロープに働く張力に関する現象の大要を把握するため、研究の予備的段階として、連結フロートの両端を柱に固定した場合の研究を行った。本稿はこれをとりまとめたものである。

4. 実験設備および方法

実験は大阪市立大学工学部河海工学科研究室の長さ42m、幅12m、深さ75cmのコンクリート製水槽で行なった。実験の幾何学的縮尺は1/50である。フロートの模型は長さ10.0cm、直径9.0cmの、両端に半球面をもつ円筒形で、材料はウレタン・スポンジ・ゴム($\rho=0.24$)である。ロープの模型としては伸びの特性を表わすAE(A:絶対面積、E:ヤング率)の値が約 $0.8 \sim 1.2 \times 10^4$ kgの広い範囲にわたる種々な材質のものを用いた。張力計は歪ゲージを貼り、直徑30mm、厚さ1.0mm、幅10.0mmの真鍮製のリングゲージを用いた。方法を記述船の推進方法としては船の先端に細いナイロン糸をつけ、吊るした重錘の重量で牽引する手えらされた船速(定速)になると重錘重量を調節した。船の運動は水面上15cmのところに直徑5mmのクレモナロープを50cm間隔で張り、幕盤目をつくり、水面上6.0mの位置に設けられた16mmシネカメラによて撮影し解析した。

5. 理論

図-2に示すように、点P₀において連結フロートに衝突した船が、連結フロートからの反力を受けながらP点に達する。このときの船体の運動方程式は次のように表わされた。

$$M_x \ddot{x}_q = f_x \phi - f_x \quad (1)$$

$$M_y \ddot{y}_q = f_y - f_y - C(\dot{\theta}_q)^2 \quad (2)$$

$$I \ddot{\phi} = af_x - bf_y - Tf_x \phi \quad (3)$$

上式を接触点(x, y)を用いて表すと、次のような3元2階非線型連立微分方程式をうる。

$$\ddot{\phi} = (af_x - bf_y - Tf_x \phi) / I \quad (4)$$

$$\ddot{x} = (f_x \phi - f_x) \cos \theta / M_x + \{f_x - f_y - C(\dot{x} \sin \theta + \dot{y} \cos \theta - b \dot{\phi})^2\} \sin \theta / M_y - (af_x - bf_y)(a \cos \theta - b \sin \theta) / I \quad (5)$$

$$\ddot{y} = \{f_x - f_y - C(\dot{x} \sin \theta + \dot{y} \cos \theta - b \dot{\phi})^2\} \cos \theta / M_y - (f_x \phi - f_x) \sin \theta / M_x + (af_x - bf_y)(b \cos \theta + a \sin \theta) / I \quad (6)$$

ここに

$$f_x = T(x, y) \frac{l_0 x}{(P_0 + y)(\beta_0 - y)} (\phi \sin \theta_0 + \cos \theta_0)$$

$$f_y = T(x, y) \frac{l_0 x}{(P_0 + y)(\beta_0 - y)} (-\phi \cos \theta_0 + \sin \theta_0)$$

$$af_x - bf_y = T(x, y) \frac{l_0 x}{(P_0 + y)(\beta_0 - y)} \{(a \sin \theta_0 + b \cos \theta_0)\phi + (a \cos \theta_0 - b \sin \theta_0)\}$$

ただし

M_x, M_y : 模型船の x_q, y_q 方向の見掛け質量

I : 模型船の回転の運動を考えた場合の船体の中心軸回りの見掛け慣性係数

C : 模型船の船首方向の運動に対する抵抗係数。

T : 連結フロートのロープに働く初期張力

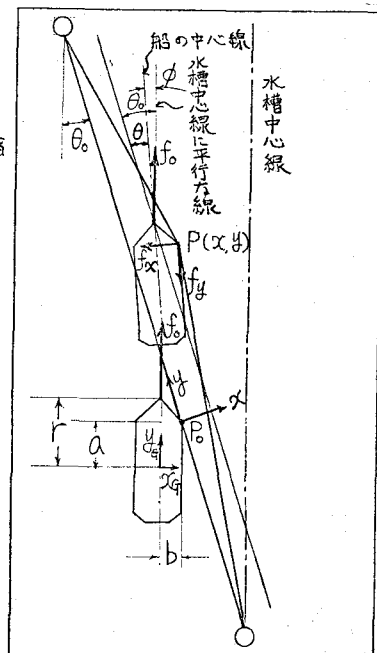


図-2 座標系

P_0 : 連結ロープの先端から衝突点までの距離。

R_0 : 衝突点から連結ロープの末端までの距離。

l_0 : 連結フロートの全長。

θ_0 : $\theta_0 - \phi$

AE: Aは連結フロートのロープの純断面積、Eはロープのヤング率。

これらを Runge-Kutta-Gill 法を用いて 6 元 1 階連立微分方程式に変換し、数値解剖を行うと船の運動およびロープに働く張力の解が得られる。

6. 理論値と実験値との比較

図-3 は連結フロートのロープに働く張力 T の理論値と実験値の比較を示す。この図から明らかのように理論値と実験値とはよく一致している。また図-4 やらロープの最大撓み $\delta_{max}(X)$ の最大値)に関しては理論値は実験値より全体に 3cm 程度大きいが、これは連結フロートを一本のためうかな線として取り扱った理論に対して実験においては最大撓み附近においてフロートの長さの縮みが連続した、折れ線状となり理論と実験における撓み点の状態に相違があるためである。この点に関して理論に約 2.3cm の補正を施すと理論値と実験値はよく一致する。

こうに詳しいことは、第 19 回海岸工学講演会に発表する予定である。

本研究の全般的な指導および理論的解析は永井、小田が行い、数値計算および実験は小川、川本が行った。また研究全般にわたりて研究員の大田直君に多大の協力を得た。

参考文献

(1) 本州四国連絡橋航行安全調査報告書 (46 年度) 日本海難防止協会

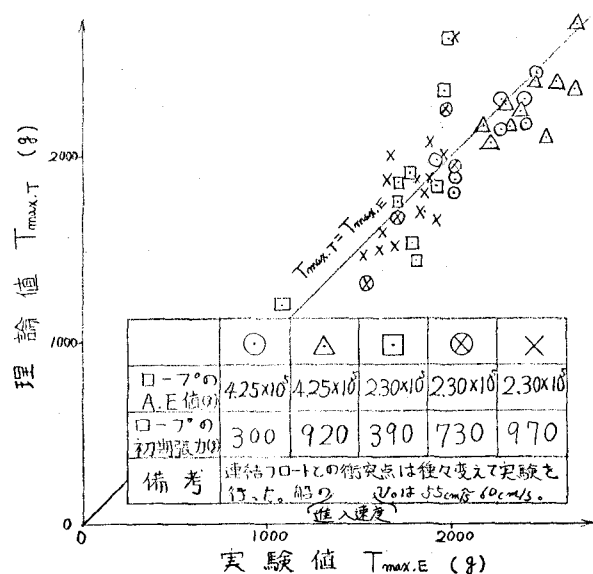


図-3 張力 T の理論値と実験値との比較

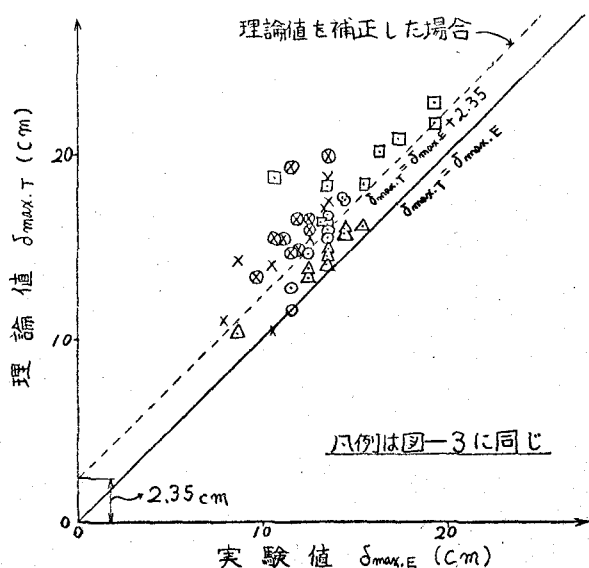


図-4 撓み δ の理論値と実験値との比較